

بررسی رفتار ماسه‌ی لای دار تثبیت شده با سیلیس کلوئیدی در مقابل روانگرایی

ایمان نوی دلاور (دکتری)

رضانورزاد (دانشیار)

بهرام طعنه‌گنبدی (دکتری)

دانشکده‌ی مهندسی عمران، دانشگاه صنعتی نوشیروانی بافق

تزریق شیمیایی، یک فرایند ژنتیکی مناسب جهت تثبیت و ناتراوا ساختن خاک است. برای تعیین مشخصات خاک تثبیت شده با سیلیس کلوئیدی، نمونه‌های ماسه‌ی لای دار با مقادیر لای ۲۰ و ۴۰ درصد، در حالت تثبیت شده و تثبیت شده با غلظت‌های گوناگون سیلیس کلوئیدی از ۵ تا ۳۰ درصد تهیه شده و آثار سیلیس کلوئیدی در رفتار آن‌ها در حالت بارکداری دوره‌یی بررسی شده است. آزمایش‌های فشاری تک محوری به منظور تعیین بهترین زمان انجام آزمایش‌ها بر روی نمونه‌ها انجام شده است. براساس نتایج بدست آمده، بهترین سن نمونه جهت انجام آزمایش‌های دوره‌یی، سه روز انتخاب شد. با انجام آزمایش‌های سه‌محوری دوره‌یی مشاهده شد که تثبیت ماسه‌ی تمیز و ماسه‌ی لای دار با سیلیس کلوئیدی موجب به تعویق انداختن پدیده‌ی روانگرایی در خاک‌های مستعد پدیده‌ی روانگرایی می‌شود. به گونه‌یی که افزودن سیلیس کلوئیدی حتی با غلظت ۰.۵٪، می‌تواند در نسبت تش دورویی ۲٪ از بروز پدیده‌ی روانگرایی پیشگیری کند، اما برای جلوگیری از روانگرایی در سطوح بالاتر بارکداری دینامیکی، افزودن سیلیس کلوئیدی با غلظت بیشتر از ۲۰٪ لازم است.

nouri.im@gmail.com
rnoorzad@nit.ac.ir
bahram.gonbad@gmail.com

وازگان کلیدی: ماسه‌ی لای دار، بارکداری دینامیکی، سیلیس کلوئیدی،
تثبیت خاک، تزریق.

۱. مقدمه

آثار تراوش، مقاوم‌سازی خاک جهت بهبود ظرفیت باربری، بارکداری گود، مقاومت در مقابل روانگرایی، بهبود پایداری سازه‌های موجود، تنظیم مشخصات سازه‌ی تغییرشکل یافته و تثبیت زمین جهت ساده‌سازی حفاری توپل یا شفت استفاده شود.^[۱] معمول ترین نوع دوغاب‌ها، سیمان برتلند، رس، دوغاب شیمیایی و قیر هستند، که هیچ‌یک از آن‌ها جهت استفاده برای همه‌ی انواع خاک‌ها مناسب نیستند و مشخصات هر کدام از دوغاب‌ها، آن را جهت کاربرد در شرایط خاصی مناسب می‌سازد. یک مسئله‌ی مهم در انتخاب نوع دوغاب آن است که ذرات موجود در آن باید به شکل چشمگیری کوچک‌تر از حفره‌های پوشونده‌ی خاک باشند. این اطلاعات به روش تجربی و براساس آزمایش‌ها باید تعیین و استفاده شوند.^[۲] به عنوان مثال، در خاک‌های ریزدانه، فقط دوغاب‌های امولسیونی و محلول کاربرد دارند و دوغاب‌های سوسپانسیونی معمول به کار نمی‌آیند. از سال ۱۹۵۷ به بعد، استفاده از تزریق شیمیایی در خاک‌ها افزایش یافته است. مزیت دوغاب‌های شیمیایی در گرانزوی پائین و کنترل زمان گیرش آن‌هاست و عیب آن‌ها در امکان سُمی بودن بعضی از انواع آن در طبیعت و هزینه‌ی نسبتاً بالای آن‌ها در مقایسه با سایر دوغاب‌های است. برخی از انواع دوغاب‌های شیمیایی عبارت‌اند از: سیلیکات سدیم، لیگنوسلوفیت، اکریلامید، کلسیم اکریلات و رزین‌ها، مانند اپوکسی رزین و رزورسینول فرمالدهید.^[۳] معمول ترین

تشبیت به روش تزریق، فرایندی برای پرکردن حفره‌های خاک و ترک‌ها و یا شکاف‌های موجود در سرنگ‌ها جهت بهبود مشخصات آب‌بنده و مکانیکی مصالح مذکور است. سه نوع کلی مصالح تزریق شونده عبارت‌اند از: دوغاب حالت سوسپانسیون، دوغاب حالت امولسیون و دوغاب حالت محلول. دوغاب حالت سوسپانسیون، شامل: رس، سیمان و آهک مخلوط با آب است. در حالی که دوغاب حالت امولسیون شامل مخلوط آب و قیر است. دوغاب حالت محلول نیز شامل گستره‌ی وسیعی از مواد شیمیایی است. با فشارها و عملیات گوناگون اعمال شده در فرایند تزریق، بهسازی به شکل‌های گوناگون قابل دستیابی است.^[۱] تزریق نفوذی^۱ با بکارگیری دوغاب رقیق و با اعمال فشار پایین (۲ الی ۳ اتمسفر)، در خاک‌های حاوی ریزدانه انجام می‌شود. در حالی که تزریق تراکمی^۲ یا تغییرشکل کنترل شده و یا شکست هیدرولیکی^۳ یا تغییرشکل کنترل نشده با فشار تزریق بالا (۸ الی ۱۰ اتمسفر)، در خاک‌های حاوی ریزدانه صورت می‌پذیرد.^[۱] عملیات تزریق می‌تواند جهت بهبود شرایط ساختگاه در مقابل مسائل احتمالی ساخت، مانند: کاهش تراویی خاک جهت کمینه‌سازی

* نویسنده مسئول

تاریخ: دریافت ۴/۸/۱۴۰۰، اصلاحیه ۲۸/۹/۱۴۰۰، پذیرش ۵/۱۰/۱۴۰۰.

DOI:10.24200/J30.2021.59219.3035

- افزایش غلاظت تثبیت‌کننده‌ها موجب ایجاد نسبت مقاومت دوره‌بی (CSR) بالاتری در دامنه‌ی کرنش برشی دوره‌بی پایین‌تر می‌شود.
- بیشتر پژوهش‌های دینامیکی انجام شده با استفاده از تزریق سیلیس کلوئیدی بر روی ماسه‌ی تمیز بوده است.^[۱۵-۱۶] مطالعه‌ی نیز توسط ورانا و تیکا^[۱۷] بر روی رفتار مکانیکی ماسه‌ی لای‌دار تثبیت شده با سیلیس کلوئیدی انجام شده است. مطالعات موجود در زمینه‌ی رفتار ماسه‌ی لای‌دار تثبیت شده با سیلیس کلوئیدی در مقابل روانگرایی بسیار انک است. هدف از انجام پژوهش حاضر، بررسی رفتار خاک ماسه‌ی تمیز و ماسه‌ی لای‌دار تثبیت شده با سیلیس کلوئیدی در مقابل روانگرایی است. نخست، آزمایش‌های فشاری تک محوری به منظور تعیین بهترین زمان انجام آزمایش‌ها بر روی نمونه‌ها انجام شده است. سپس به منظور دسترسی به هدف اصلی، آزمایش‌های سه‌محوری دوره‌بی جهت بررسی رفتار روانگرایی خاک انجام شده است. با توجه به آنکه پژوهش حاضر، یک مطالعه‌ی پارامتریک با تمرکز بر روی خاک ساحلی دریای مازندران است، آزمایش‌ها بر روی نمونه‌های دستکار ماسه‌ی با بلسر به همراه مقادیر گوناگون لای طبیعی حاشیه‌ی با بلرود انجام شده است. به منظور مطالعه‌ی نحوه اثرگذاری تثبیت‌کننده سیلیس کلوئیدی بر روی خاک بررسی شده، نمونه‌های دستکار تثبیت نشده و تثبیت شده با غلاظت‌های گوناگون سیلیس کلوئیدی آزمایش شده‌اند.

۲. مصالح استفاده شده

مصالح استفاده شده در پژوهش حاضر، شامل ماسه‌ی با بلسر، لای با بل و سیلیس کلوئیدی است که در بخش کنونی به توضیح مشخصات فیزیکی و شیمیایی آن‌ها پرداخته شده است.

۱.۲. ماسه‌ی با بلسر

به منظور تهیه‌ی خاک ماسه‌ی لای‌دار، جهت ساخت نمونه‌های آزمایشی، از مخلوط خاک ماسه‌ی با بلسر و لای حاشیه‌ی رودخانه‌ی با بلرود استفاده شده است. پس از تهیه‌ی ماسه از ساحل با بلسر، آزمایش دانه‌بندی با الک براساس استاندارد ASTM D ۴۲۲^[۱۷] و تعیین چگالی نسبی دانه‌های جامد براساس استاندارد ASTM D ۸۵۴^[۱۸] بر روی آن انجام شد. براساس نتایج آزمایش‌های دانه‌بندی و مطابق سیستم رده‌بندی متعدد^[۱۹]، ماسه‌ی با بلسر در رده‌بندی ماسه‌ی بد دانه‌بندی شده (SP) قرار می‌گیرد. منحنی دانه‌بندی ماسه‌ی استفاده شده در پژوهش حاضر در شکل ۱ مشاهده می‌شود. همچنین، خلاصه‌ی مشخصات ماسه‌ی استفاده شده در جدول ۱ ارائه شده است.

۲.۱. لای با بل

پس از تهیه‌ی خاک لای طبیعی از حاشیه‌ی رودخانه‌ی با بلرود، آزمایش‌های دانه‌بندی به روش ترو-هیدرومتری براساس استاندارد ASTM D ۴۲۲^[۱۷] و چگالی نسبی براساس استاندارد ASTM D ۸۵۴^[۱۸] بر روی مصالح موردنظر انجام شد. سپس،

جدول ۱. خلاصه مشخصات ماسه با بلسر.

طبقه‌ی خاک	Gs	D ₅₀ (mm)	D ₁₀ (mm)	D (mm)	درصد ریزدانه
SP	۲/۷۴	۰/۱	۰/۱۸	۰/۲۶	%

ماده‌ی شیمیایی استفاده شده جهت تزریق، سیلیکات‌ها و معمولاً سیلیکات‌سدیم است. مشکل استفاده از دوغاب سیلیکات‌سدیم، ژل شدن یکباره‌ی آن قبل از تزریق است که تا حدودی با رقیق کردن دوغاب و یا تزریق دوغاب و ماده‌ی فعال‌ساز آن به طور جداگانه قابل اصلاح است.^[۲۰] یونکورا و کاما^[۲۱] (۱۹۹۲) با به کارگیری فناوری نافور در دوغاب‌های شیمیایی با پایه‌ی سیلیکات، سیلیس کلوئیدی را به عنوان جایگزینی برای سیلیکات‌سدیم پیشنهاد کردند که خواص چشمگیری در بحث تزریق شیمیایی دارد.^[۲۲] مزیت سیلیس کلوئیدی در مقایسه با سایر دوغاب‌ها، گرانروی پایین‌تر و غیررسمی بودن آن است. برخلاف سیمان‌ها، که حتی در اندازه‌ی بسیاری زرات آن با عبور از خاک فیلتر می‌شوند، ذرات سیلیس کلوئیدی قابل فیلتر شدن با خاک نیستند.^[۲۳] نقش سیلیس کلوئیدی در تثبیت خاک، چسباندن دانه‌های آن به یکدیگر و کاهش تراوایی خاک است. سیلیس کلوئیدی با گرانروی پایین، قابلیت ایجاد دوره‌ی تأخیر طولانی و زمان ژل شدن طولانی (قابل تنظیم تا ۵۰ الی ۱۰۰ روز) را دارد. محلول سیلیس کلوئیدی٪/۵، قیمتی مشابه با قیمت سیمان دانه‌ریز^۵ دارد؛ اما هزینه‌ی اجرای روش مذکور به طور چشمگیری پایین‌تر از هزینه‌ی مربوط به سیمان معمولی است.^[۲۴]

در طول دهه‌های اخیر، پژوهش‌هایی در جهت بهبود خواص دینامیکی خاک‌ها با استفاده از سیلیس کلوئیدی انجام شده است. کوداک^۶ و همکاران (۲۰۰۵)، رفتار تنش - کرنش هیسترزیس خاک‌های ماسه‌ی تثبیت شده و تثبیت نشده با سیلیس کلوئیدی را طی آزمایش برش دوره‌بی پیچشی بررسی و مشاهده کردند که ماسه‌ی تثبیت شده با سیلیس کلوئیدی، نخست رفتار مشابه با ماسه‌ی متراکم با میرایی بالا دارد و در ادامه، دچار تحرک دوره‌بی می‌شود.^[۲۵] امکان سنجش پیشگیری از روانگرایی با تزریق سیلیس کلوئیدی، توسط قلاقر^۷ و همکاران (۲۰۰۷) با آزمایش‌های مدل‌سازی سانتریفیوژ انجام شد. ایشان نشان دادند که برای شتاب بیشینه‌ی ۰/۲۵٪ در خاک ماسه‌ی تثبیت شده با ۰/۶٪ سیلیس کلوئیدی، سطوح کرنش تثبیت نشده، کرنش ۳ الی ۶ درصد را نشان دادند.^[۲۶] پاموک^۸ و همکاران (۲۰۰۷)، آثار تثبیت با ۰/۶٪ وزنی سیلیس کلوئیدی را در بی‌های شمعی مدفون در شبکه ماسه‌ی روانگرا بررسی و گزارش کردند که سیلیس کلوئیدی، مقاومت روانگرایی را به صورت چشمگیری افزایش می‌دهد. همچنین موجب کاهش در تغییرشکل جانبی سطح آزاد و نشست قائم تا ۰/۹۰٪ می‌شود.^[۲۷] کانلی^۹ و همکاران (۲۰۱۲)، با انجام آزمایش‌های مدل سانتریفیوژ بر روی شبکه ماسه‌ی تثبیت شده با سیلیس کلوئیدی، روانگرایی و پاسخ تغیرشکلی ماسه‌ی سُست تثبیت شده با سیلیس کلوئیدی ۰/۴ و ۰/۵ درصد وزنی را با شبکه مسیت نشده مقایسه کردند. مدل ساخته شده توسط ایشان در واقعیت^{۱۰} شامل یک لایه ماسه‌ی متراکم موتوزی شماره‌ی ۰/۳ به ضخامت ۰/۷۵ متر بود که بر روی آن به ضخامت ۰/۴/۸ متر، لایه‌ی ماسه‌ی سُست نوادا قرار داشت. درنهایت بر روی دو لایه ماسه، به ضخامت ۱ متر خاک لوم متراکم قرار گرفت. مدل ساخته شده پس از اعمال شتاب ۱۵g و تحت اثر سنتاریوهای لرزه‌بی گوناگون بررسی شده و این نتایج به دست آمده است.^[۱۱]

• تثبیت با سیلیس کلوئیدی در شبکه‌ای خاکی واقع بر لایه‌های خاک روانگرا، به شدت از گسترش جانبی شبکه جلوگیری می‌کند.

• پاسخ تنش - کرنش ماسه‌ی تثبیت شده در شرایط زهکشی نشده، مشابه با خاک متراکم در حالت بحرانی، رفتار تحرک دوره‌بی از خود نشان می‌دهد.

جدول ۳. برخی از مشخصات سیلیسیس کلوئیدی.

pH	درصد بخش جامد	وزن مخصوص (gr/cm^3)
۹/۶۷	۱/۲۱	۳۰/۳

۳.۲. سیلیسیس کلوئیدی

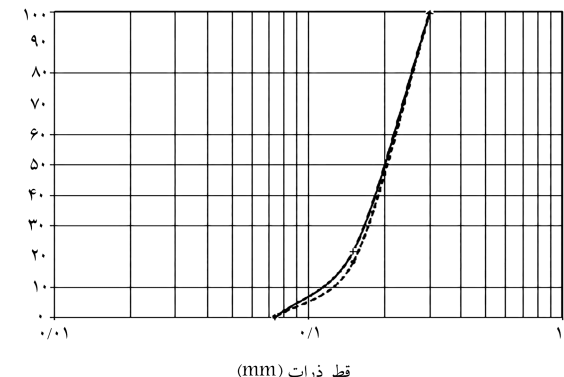
سیلیسیس کلوئیدی استفاده شده در پژوهش حاضر، ساخت شرکت هندی دکتر خان^{۱۲} است، که یک محلول به رنگ سفید شیری است. براساس اعلام شرکت تولیدکننده، میزان سیلیسیس موجود در محلول اخیر، ۳۰٪ وزنی آن بود (نسبت وزنی ۳۰٪ سیلیسیس و ۷۰٪ مایع بود) که قبل از استفاده، تعدادی از پارامترهای محلول در آزمایشگاه به شرح جدول ۳ اندازه‌گیری شده است.

۳. بررسی آزمایشگاهی

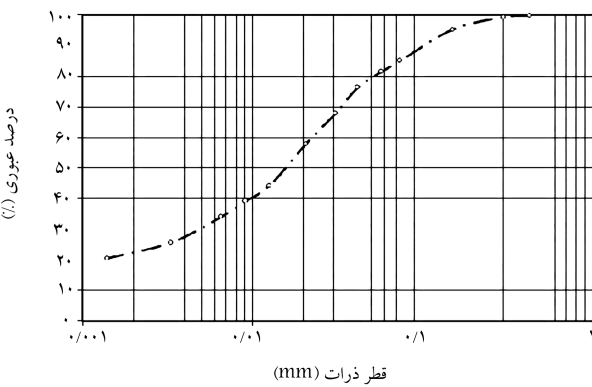
در پژوهش حاضر، پس از انجام آزمایش‌های مقدماتی جهت شناسایی مشخصات اولیه‌ی مصالح استفاده شده، آزمایش تراکم به منظور تعیین وزن مخصوص بیشینه‌ی خاک‌های گوناگون انجام شده است. سپس روش‌های گوناگون نمونه‌سازی با درصدهای گوناگون لایی بررسی شد. پس از مشخص شدن موارد اخیر آزمایش مقاومت فشاری محلود نشده، جهت تعیین زمان عمل‌آوری مناسب نمونه‌های ثبت شده انجام شده است. درنهایت، جهت تعیین تأثیر سیلیسیس کلوئیدی در رفتار دوره‌ی ماسه‌ی لایی دار آزمایش‌های سه‌محوری دوره‌ی انجام شده است که درادامه به تشریح آن‌ها پرداخته شده است.

۱.۳. آزمایش تراکم استاندارد

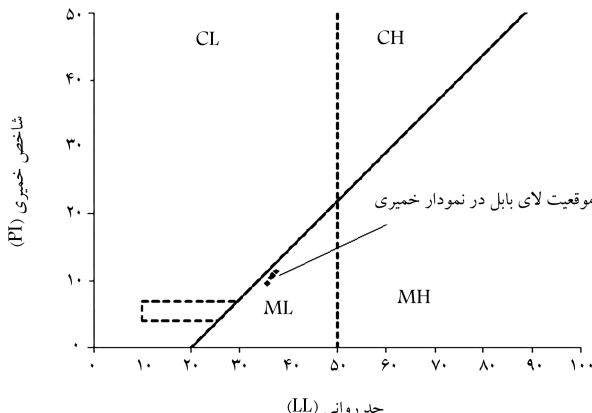
به منظور تعیین وزن مخصوص بیشینه‌ی خاک‌های گوناگون، جهت کنترل تراکم نمونه‌ها، آزمایش‌های تراکم استاندارد مطابق استاندارد شماره‌ی D6۹۸^[۱۳] ASTM انجام شده است. خلاصه‌ی نتایج حاصل از آزمایش‌های اخیر در شکل ۴ مشاهده می‌شود. با افزایش درصد لایی در نمونه‌های ماسه‌ی لایی دار، چگالی خشک بیشینه، نخست روند افزایشی و سپس کاهشی در پیش گرفته است، چراکه با افزایش بخش ریزدانه در ماسه‌ی تمیز، ابتدا ذرات ریزدانه فضای خالی بین ذرات ماسه‌ی را پر می‌کنند، لذا چگالی خشک بیشینه افزایش یافته است. پس از پر شدن فضای خالی بین ذرات ماسه، در صورتی که بخش ریزدانه افزایش یابد، افزایش ریزدانه موجب ایجاد فاصله بین ذرات درشت‌دانه و جدایی دانه‌ها می‌شود که با کاهش در چگالی خشک بیشینه همراه خواهد بود. براین اساس، رفتار خاک در درصد ریزدانه، کمتر از قله‌ی منحنی در نمودار چگالی خشک بیشینه - درصد لایی، مشابه خاک درشت‌دانه و پس از آن مشابه خاک ریزدانه خواهد بود، بنا به گفته‌ی یانگ^{۱۴} و همکاران (۵۶/۲۰)، مرز بین دو رفتار شبیه درشت‌دانه و شبیه ریزدانه وابسته به نوع دانه‌بندی، شکل دانه‌ها، و بیشینه‌ی اندازه‌ی ذرات درشت‌دانه است.^[۱۵] در آزمایش‌های انجام شده در پژوهش حاضر، مقدار بیشینه‌ی چگالی خشک ماسه‌ی لایی دار، زمانی مشاهده شد که درصد لایی در خاک ۲۲٪ بود. براین اساس، می‌توان انتظار داشت که در ماسه‌ی لایی دار با ریزدانه‌ی کمتر از ۲۲٪ رفتار مشابه درشت‌دانه و با ریزدانه‌ی بیشتر از ۲۲٪ رفتاری مشابه با خاک ریزدانه در نمونه‌های خاک مشاهده شود.



شکل ۱. منحنی دانه‌بندی ماسه‌ی بابلسر.



شکل ۲. منحنی دانه‌بندی لایی بابل.



شکل ۳. نمودار خمیری لایی بابل.

جدول ۲. خلاصه‌ی مشخصات لایی بابل.

طبقه خاک	درصد ریزدانه	PI	LL	Gs
ML	۲/۵۵	۸۶/۸۸	۱۱	۳۷

آزمایش‌های حد روانی به روش کاساگرانده و آزمایش حد خمیری به روش فتیله کردن بر روی مصالح مذکور مطابق استاندارد ASTM D4318^[۱۶] صورت پذیرفته است. منحنی دانه‌بندی و نمودار خمیری لایی مطالعه شده در شکل‌های ۲ و ۳ مشاهده می‌شود. خاک بررسی شده در سیستم نامگذاری متعدد در رده‌ی ML قرار می‌گیرد. سایر مشخصات خاک ریزدانه‌ی استفاده شده در جدول ۲ ارائه شده است.

جدول ۴. چگالی خشک و درصد رطوبت نمونه‌های ساخته شده.

نمونه	ماسه با ۴۰٪ لای	تمیز با ۲۰٪ لای	ماسه
چگالی خشک (gr/cm ³)	۱/۵۱	۱/۷۱	۱/۶۷
درصد رطوبت (%)	۱۱/۶۰	۱۲/۹۵	۱۴/۳۰

محاسبه شد که کلیه‌ی فضای خالی خاک پر شود. برای محاسبه‌ی چگالی خشک هر نمونه، مقدار چگالی خشک بیشینه‌ی هر نمونه (با درصد لای مختلف) به دست آمد از آزمایش تراکم استاندارد (مطابق شکل ۴)، در درصد تراکم در نظر گرفته شده ضرب شده است. چگالی خشک نمونه‌های تثبیت شده نیز مشابه نمونه‌های تثبیت نشده با درصد لای مشخص بوده است. در جدول ۴، چگالی خشک و درصد رطوبت نمونه‌های ساخته شده ارائه شده است.

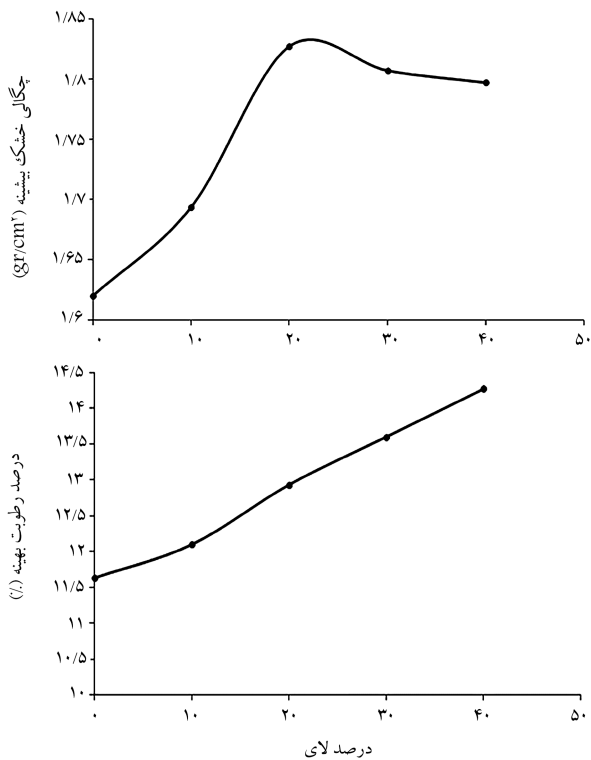
به منظور بررسی یکنواختی در توزیع و پخش سیلیس کلوئیدی در کل ارتفاع نمونه، چند مورد از نمونه‌های ساخته شده، با استفاده از ارهی موبی به ۶ قسمت تقسیم شدند. وزن و حجم هر قسمت محاسبه شد و در نهایت، وزن مخصوص هر قسمت بدست آمد. مقایسه‌ی وزن مخصوص قسمت‌های مختلف مشخص کرد که اختلاف چندانی بین مقادیر آن‌ها وجود ندارد. با توجه به مورد اخیر، توزیع و پخش سیلیس کلوئیدی در کل ارتفاع نمونه، یکنواخت در نظر گرفته شد. این موضوع مفصل‌اً در نوشتار دیگر،^[۲۱] از نویسندهان نوشتار حاضر بیان شده است.

۳.۳. تعیین سن نمونه جهت انجام آزمایش

جهت انجام آزمایش بر روی نمونه‌های خاک تثبیت شده با سیلیس کلوئیدی، پژوهشگران از سنین گوناگون نمونه‌ی تثبیت شده استفاده کردند. به طور مثال، پرساف^{۱۷} و همکاران (۱۹۹۹)،^[۵] و دیاز رودریگز^{۱۸} و همکاران (۲۰۰۸)^[۲۸] از نمونه‌های با سن ۷ روز جهت انجام آزمایش‌ها استفاده کردند. قلاقر و همکاران (۲۰۰۷)^[۶] آزمایش‌های خود را بر روی نمونه‌هایی با سن ۴ برابر زمان ژلی شدن انجام دادند. میشل^{۱۹} و قلاقر (۲۰۰۲)^[۲۹] زمان مناسب جهت انجام آزمایش‌ها را ۱۰ برابر زمان ژلی شدن پیشنهاد کردند. لیاون^{۲۰} و همکاران (۲۰۰۳)^[۳۰] در زمان‌های ۷، ۱۴ و ۲۸ روز پس از ساخت نمونه، آزمایش‌های خود را انجام دادند. در پژوهش حاضر، جهت تعیین سن مناسب برای انجام آزمایش، از آزمایش‌های فشاری تک محوری مطابق استاندارد ASTM D۲۱۶۶^[۳۱] که بر روی نمونه‌های خاک تثبیت شده با سنین گوناگون انجام شده، استفاده شده است. آزمایش‌های مذکور بر روی نمونه‌های خاک ماسه‌ی تمیز تثبیت شده با سیلیس کلوئیدی با غلظت ۵٪ (رقیق‌ترین حالت در پژوهش حاضر) انجام شده است. دو تا سه نمونه‌ی ساخته شده، در سنین ۱ الی ۲۱ روز از زمان ساخت، آزمایش شدند. درنهایت، براساس آزمایش فشاری تک محوری انجام شده در بخش کنونی (شکل ۵)، با توجه به میانگین مقاومت فشاری تک محوری نمونه‌های با سن مشخص بدست آمده است. همان‌گونه که مشاهده می‌شود، با افزایش سن نمونه تا ۳ روز، مقاومت فشاری تک محوری نمونه، روند افزایشی سریع داشته است. پس از ۳ روز، نیز افزایش مقاومت به شدت کاهش یافته است. لذا سن انجام آزمایش‌ها در پژوهش حاضر، ۳ روز انتخاب شده است.

۴.۳. انتخاب روش اشباع نمونه

در آزمایش‌های سه محوری دوره‌یی، روش معمول جهت اشباع نمونه‌های خاکی



شکل ۴. نتایج آزمایش تراکم استاندارد بر روی ماسه‌ی لای دار.

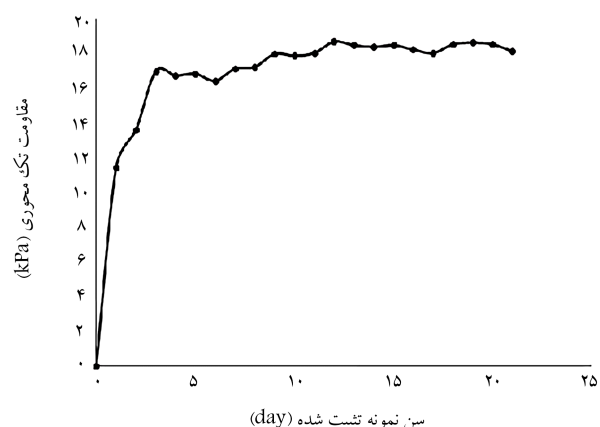
۲. روش ساخت نمونه‌ها

براساس برنامه‌ی آزمایش‌ها، ساخت نمونه‌های حاوی ماسه‌ی تمیز و ماسه‌ی لای دار با مقادیر گوناگون ریزدانه (درصد لای صفر، ۲۰ و ۴۰ درصد وزن نمونه) در دستورکار قرار داشت. جهت کنترل چگالی نمونه‌های خاکی با ریزدانه‌ی کمتر از ۱۵٪، براساس پیشنهاد استاندارد ASTM، می‌توان از تعریف تراکم نسبی (Dr) و از آزمایش‌های تعیین نشانه‌ی خلا کمینه و بیشینه به ترتیب براساس استانداردهای شماره‌ی ۴۲۵۳ و ASTM D ۴۲۵۴^[۳۲] استفاده کرد. اما امکان انجام آزمایش‌های مذکور در نمونه‌های خاک با درصد ریزدانه‌ی بیشتر از ۱۵٪ وجود نداشت. بر این اساس، در پژوهش حاضر به منظور یکسان‌سازی روند کنترل چگالی نمونه‌ها، از پارامتر درصد تراکم (Rc) و آزمایش تراکم استاندارد،^[۳۳] استفاده شده است. درصد تراکم نمونه‌ها در کلیه‌ی آزمایش‌ها برابر ۹۳٪ انتخاب شد، که براساس رابطه‌ی تحریبی میان درصد تراکم و تراکم نسبی، معادل تقریبی تراکم نسبی ۶۵٪ است (نمونه با درصد تراکم متوسط بود). با توجه به مقادیر گوناگون ریزدانه در نمونه‌های پژوهش حاضر، برخی از نمونه‌ها رفتاری مشابه با خاک درشت‌دانه و برخی دیگر رفتاری مشابه با خاک ریزدانه داشتند. براین اساس، امکان استفاده از فقط یک روش جهت تعیین سن نمونه ممکن نبود. به همین منظور، در پژوهش حاضر از دو روش متفاوت ساخت نمونه: روش ریزش خشک از قیف^{۱۵} و روش کوبش خاک مرتبط^{۱۶} استفاده شده است.^[۳۴] پیش از شروع به ساخت نمونه‌ها، ابتدا باید وزن هر یک از اجراء تشکیل دهنده‌ی نمونه تعیین شود. بدین منظور با توجه به درصد تراکم نمونه‌ها، وزن مخصوص خشک نمونه تعیین و سپس با داشتن حجم قالب، وزن خاک خشک محاسبه شده است.

در مرحله‌ی بعد، براساس چگالی نسبی هر نمونه‌ی خاکی، حجم فضای خالی هر نمونه از روابط وزنی و حجمی تعیین و حجم ماده‌ی تثبیت‌کننده نیز به گونه‌یی

جدول ۵. مشخصات دستگاه سه محوری دوره‌بی استفاده شده.

بیشینه‌ی فشار دورگیر برای سلول سه محوری	10^0 کیلوپاسکال
بیشینه‌ی توان اعمال بار محوری	± 9 کیلونیوتون
بیشینه‌ی توان اندازه‌گیری بار محوری توسط لودسل	± 25 کیلونیوتون
بیشینه‌ی اندازه‌ی جابه‌جایی محور پارگذاری	± 25 میلی‌متر
بیشینه‌ی ظرفیت اندازه‌گیری تغییر حجم	± 100 میلی‌متر



شکل ۵. منحنی تغییرات مقاومت فشاری تکمحوری نمونه‌ی ماسه‌ی ثبت شده با زمان.

صنعتی نوشیروانی بابل بوده است که ساخت شرکت IPC Global استرالیاست. قبل از شروع استفاده از دستگاه، حسگرهای آن تعویض و لودسل و تغییر مکان سنج آن کالبیره شده بودند. مشخصات دستگاه مورد نظر در جدول ۵ ارائه شده است. در انجام آزمایش‌های اخیر، از یک فشار دورگیر 10^0 کیلوپاسکال استفاده شده است. تمامی 15 نمونه‌ی آزمایشی با نسبت تنفس دوره‌بی $2/4^0$ با بسامد 1 هرتزو و تا 20^0 دوره‌ی سینوسی پارگذاری شدند.

معیار روانگرایی: برای ماسه‌ی سست، روانگرایی (اویله) حالتی از نرم شدنگی است، که در آن (به صورت نامحدود) تغییر شکل بزرگ و ناگهانی همراه با افت کامل مقاومت بلا فاصله پس از توسعه 10^0 % فشار آب حفره‌بی ایجاد می‌شود. برای ماسه با تراکم متوسط تا متراکم نیز یک حالتی از نرم شدنگی (روانگرایی محدود، 22^0 ، نرم شوندگی دوره‌بی 23^0 ، یا تحرک دوره‌بی 24^0) با توسعه 10^0 % فشار آب حفره‌بی رح می‌دهد (همراه با حدود 5^0 % کرنش محوری دامنه‌ی 2 برابر، ولی تغییر شکل‌ها به صورت نامحدود زیاد نمی‌شوند و افت کامل مقاومت ایجاد نمی‌شود). در ماسه‌های لایدار یا لای ماسه‌دار، مشخصات خمیری خاک نقش تعیین‌کننده‌ی در روانگرایی دارد. خاک‌های لایدار با ذرات غیر خمیری (مانند بسیاری از مصالح باطله) مشابه با ماسه‌ی تمیز به راحتی قابلیت روانگرایی دارند. ذرات چسبنده (مانند نهشته‌های رودخانه‌ی که در پژوهش حاضر استفاده شده است)، عموماً مقاومت دوره‌بی خاک‌های لایدار را افزایش می‌دهند. تعریف روانگرایی مربوط به ماسه‌ها که پیش‌تر بیان شده است، معمولاً برای خاک‌های لایدار (با چسبنده‌ی ناچیز) نیز قابل استفاده است. [۲۶]

شروع روانگرایی در خاک‌های لایدار، معمولاً از طریق یک سری از روابط بین نسبت تنفس دوره‌بی موردنیاز برای ایجاد 5^0 % کرنش محوری 2 برابر دامنه (شروع روانگرایی یا تحرک دوره‌بی فرض شده است) و تعداد دوره‌های یک فشار آب حفره‌بی یکنواخت با دامنه‌ی ثابت بیان می‌شود. از آنجایی که اندازه‌گیری پارگذاری دینامیکی یکنواخت با دامنه‌ی ثابت بیان می‌شود، از آنجایی که اندازه‌گیری فشار آب حفره‌بی قابل اعتماد، در آزمایش دینامیکی مصالح با نفوذ پذیری نسبتاً کم، سخت است، عیار کرنش محوری 2 برابر دامنه‌ی معادل 5^0 %، برای تعریف روانگرایی خاک‌های چسبنده در پژوهش حاضر برای خاک ثبت شده و با ثبت شده، براساس تعاریف اخیر در پژوهش حاضر برای خاک ثبت شده و با ثبت شده، دامنه‌ی 2 برابر کرنش محوری برابر 5^0 % و با نسبت فشار آب حفره‌بی برابر 1 ، هر کدام که زودتر اتفاق بیافتد، عیار روانگرایی در نظر گرفته شده است. پس از انجام آزمایش‌های سه محوری دوره‌بی بر روی نمونه‌ها، محاسبات مربوط به اصلاح سطح پارگذاری، اصلاح نیرو و نفوذ غشاء براساس استاندارد انجام پذیرفته است.

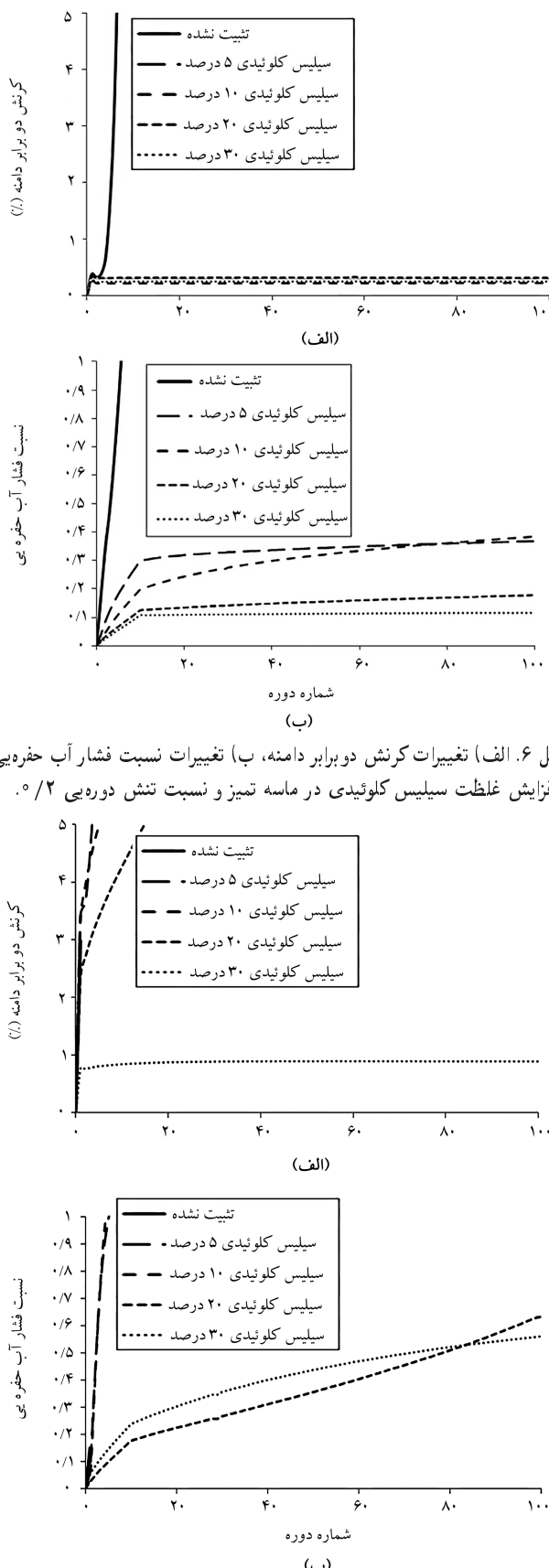
۴. نتایج آزمایش سه محوری دوره‌بی

به منظور بررسی میزان اثربخشی ثبت با سیلیس کلوئیدی در رفتار دینامیکی خاک، منحنی‌های تغییرات کرنش 2 برابر دامنه و نسبت فشار آب حفره‌بی بر حسب

براساس استاندارد ASTM، استفاده از روش پس فشار جهت انحلال هوای موجود در حفره‌های خاک در آب است. [۲۲] روش اشباع‌سازی پس فشار، در نمونه‌های خاک ثبت شده با سیلیس کلوئیدی چندان کار نیست. زیرا به دلیل پایین بودن تراوایی خاک ثبت شده، آب در فشارهای معمول به درون بافت خاک وارد نمی‌شود و امکان اشباع خاک وجود ندارد. به همین دلیل، برخی از پژوهشگران مانند کنسولی 21^0 و همکاران 20^0 [۲۳] به منظور اشباع ساختن نمونه‌های ماسه‌ی سیمانی و کاهش مکش درون نمونه‌ها، آن‌ها را به مدت 24^0 ساعت در حوضچه‌ی آب غرقاب ساختند. براساس تجربیات انجام شده در پژوهش حاضر، با افزایش گام به گام پس فشار تا 70^0 کیلوپاسکال در نمونه‌های گوناگون، مقدار بیشینه‌ی پارامتر فشار آب حفره‌بی (B) به $45^0/0$ رسیده است. مقدار اخیر پارامتر فشار آب حفره‌بی (B)، نشان‌دهنده‌ی عدم اشباع نمونه‌ی خاک است. لازم به توضیح است که استفاده از پس فشار جهت اشباع نمونه‌های خاک ثبت شده با سیلیس کلوئیدی از دیدگاه برخی از پژوهشگران مردود است؛ چرا که اعمال پس فشار می‌تواند موجب تخریب پیوندهای ماده‌ی ثبت‌کننده شود. [۲۴] [۲۵] براساس دلایل اخیر، به منظور اشباع ساختن نمونه‌های خاک ثبت شده در آزمایش‌های سه محوری دوره‌بی پژوهش حاضر، از روش اشباع نمونه‌های سنگ براساس روش پیشنهادی ISRM استفاده شده است، که براساس آن، نمونه‌ها به مدت دست‌کم 1 ساعت تحت مکش 80^0 پاسکال در ظرف پر از آب (دسیکاتور) قرار می‌گیرند. [۲۶] به این ترتیب حباب‌های هوای موجود در حفره‌های خاک به موجب مکش وارد، افزایش حجم می‌دهند و از نمونه خارج می‌شوند. [۲۷] به منظور کنترل اشباع بودن نمونه‌ها، نمونه‌ی خارج شده از دسیکاتور وزن شدن و مطابق روابط وزنی و حجمی خاک، با توجه به چگالی اجزاء تشکیل دهنده‌ی نمونه، از اشباع بودن حفره‌های خاک توسط آب اطمینان حاصل شده است.

۵.۳ آزمایش سه محوری دوره‌بی

تعداد 30 آزمایش سه محوری دوره‌بی بر روی نمونه‌های گوناگون، براساس استاندارد ASTM D5311-۱۳ [۲۸] انجام شده است. نمونه‌ها شامل سه نوع خاک ماسه‌ی تیز، ماسه‌ی لایدار با 20^0 و 40^0 درصد لای بودند که در شرایط ثبت نشده و ثبت شده با سیلیس کلوئیدی 5^0 ، 10^0 ، 20^0 ، و 30^0 درصد (در مجموع 15 نمونه گوناگون تحت دو نسبت تنفس دوره‌بی) آزمایش شدند. دستگاه سه محوری دوره‌بی استفاده شده در پژوهش حاضر، متعلق به آزمایشگاه ژئوتکنیک لرزه‌بی دانشگاه

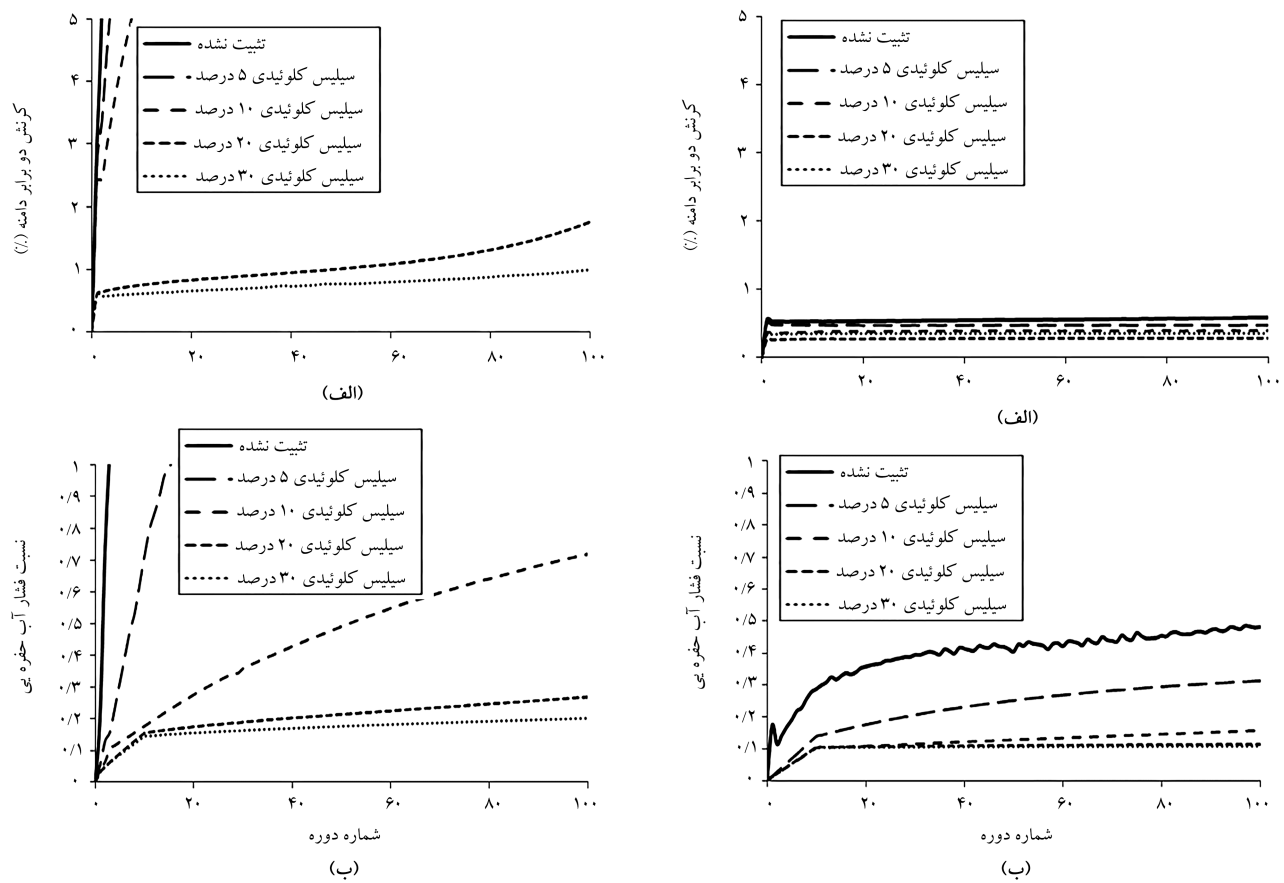


شکل ۶. الف) تغییرات کرنش دو برابر دامنه، ب) تغییرات نسبت فشار آب حفره‌یی، با افزایش غلظت سلیسیم کلوئیدی در ماسه تمیز و نسبت تنش دوره‌یی $2/0$.

شماره‌ی دوره‌ی بارگذاری برای یک نمونه‌ی خاک ماسه‌ی تمیز با غلظت‌های گوناگون تثبیت‌کننده و در نسبت‌های گوناگون تنش دوره‌یی مطابق شکل‌های ۶ و ۷ ترسیم شده‌اند. در هر دو سطح بارگذاری دینامیکی (نسبت تنش دوره‌یی $2/0$ و $4/0$)، افزودن تثبیت‌کننده‌ی سلیسیم کلوئیدی موجب کاهش کرنش محوری ۲ برابر دامنه و نیز کاهش نسبت فشار آب حفره‌یی اضافی شده است. دلیل پدیده‌ی اخیر، ژلی شدن سلیسیم کلوئیدی بین دانه‌های خاک و چسباندن آنها به یکدیگر است. ژلی شدن سلیسیم کلوئیدی بین دانه‌های خاک، موجب ایجاد رفتار کشسان در نمونه‌ی خاک و پیشگیری از ایجاد تغییرشکل ماندگار بین دانه‌های خاک می‌شود. کاهش تغییرشکل ماندگار در شرایط زهکشی نشده، موجب کاهش ایجاد فشار آب حفره‌یی اضافی در خاک در زمان بارگذاری دوره‌یی می‌شود. در نتیجه، نرم‌شدگی دوره‌یی کمتری را در بارگذاری دینامیکی به دنبال خواهد داشت. همان‌گونه که در شکل ۶ مشاهده می‌شود، در سطح پایین بارگذاری دوره‌یی (نسبت تنش دوره‌یی $4/0$)، قرارگیری سلیسیم کلوئیدی با غلظت‌های پایین نیز از بروز پدیده‌ی روانگرایی و ایجاد تغییرشکل‌های بزرگ در اثر بارگذاری دوره‌یی، مقداری فشار آب حفره‌یی اضافی در نمونه‌ی خاک با شروع بارگذاری دوره‌یی، مقداری فشار آب حفره‌یی اضافی در طول دوره‌های گوناگون بارگذاری نیز اتفاق نمی‌افتد. مطابق شکل ۶ب، آشکار است فشار آب حفره‌یی اضافی که در نمونه‌ی خاک تثبیت شده در بارگذاری دینامیکی ایجاد شده است، تحت تأثیر غلظت سلیسیم کلوئیدی قرار گرفته است؛ به صورتی که هر چه غلظت سلیسیم کلوئیدی بیشتر شده است، فشار آب حفره‌یی کمتری در نمونه‌ی خاک تثبیت شده ایجاد شده است که دلیل آن، مقاومت بیشتر تثبیت‌کننده در بارگذاری دوره‌یی بوده است. به بیان دیگر، در یک سطح تنش دوره‌یی مشخص، با اعمال تنش انحرافی، بخشی از پیوندهای حاصل از تثبیت‌کننده بین دانه‌های خاک شکسته می‌شود. مقدار شکست پیوندها در غلظت‌های پایین سلیسیم کلوئیدی که مقاومت کمتری دارند، بیشتر خواهد بود. لذا تغییرشکل بین دانه‌یی در نمونه‌های با تثبیت‌کننده‌ی رقیق تر بیشتر می‌شود و موجب فشار آب حفره‌یی بالاتر در نمونه‌های مذکور می‌شود. لازم به توضیح است که به وجود آمدن فشار آب حفره‌یی بیشتر در نمونه‌ی خاک تثبیت شده با غلظت‌های پایین سلیسیم کلوئیدی، لزوماً موجب نرم‌شوندگی دوره‌یی و بروز تغییرشکل‌های بزرگ نخواهد شد. زیرا مطابق مشاهده‌های پژوهشکران پیشین، نرم‌شوندگی دوره‌یی و تغییرشکل‌های بزرگ، زمانی ایجاد می‌شود که نسبت فشار آب حفره‌یی اضافی به مقدار $5/0$ و یا بیشتر [۲۸].

مطابق شکل ۶ب، مشاهده می‌شود که نسبت اضافه فشار آب حفره‌یی در نسبت تنش دوره‌یی $2/0$ ، کمتر از $5/0$ است، در نتیجه مطابق شکل ۶الف، در کرنش محوری ۲ برابر دامنه‌ی نمونه‌های تثبیت شده، تفاوت چندانی مشاهده نمی‌شود. براساس شکل ۶ب، مشاهده می‌شود که در سطح بالای بارگذاری دینامیکی (نسبت تنش دوره‌یی $4/0$)، در ماسه‌ی تمیز تثبیت شده با سلیسیم کلوئیدی، پدیده‌ی روانگرایی در غلظت‌های پایین تثبیت‌کننده رخ داده است، که دلیل آن همان طور که پیش تراشانه شد، تخریب پیوندهای بین دانه‌یی در نسبت تنش دوره‌یی بالاست، که موجب می‌شود در نسبت تنش دوره‌یی بالا، تثبیت با غلظت سلیسیم کلوئیدی تا 10% تأثیرکمی در پیشگیری از پدیده‌ی روانگرایی داشته باشد. تثبیت با سلیسیم کلوئیدی با غلظت 20% تا حدودی بروز پدیده‌ی روانگرایی را به تأخیر می‌اندازد، اما تثبیت با سلیسیم کلوئیدی با غلظت 30% از بروز پدیده‌ی روانگرایی پیشگیری می‌کند. منحنی‌های تغییرات کرنش ۲ برابر دامنه و نسبت فشار آب حفره‌یی بر حسب شماره‌ی دوره‌ی بارگذاری

شکل ۷. الف) تغییرات کرنش دو برابر دامنه، ب) تغییرات نسبت فشار آب حفره‌یی، با افزایش غلظت سلیسیم کلوئیدی در ماسه تمیز و نسبت تنش دوره‌یی $4/0$.

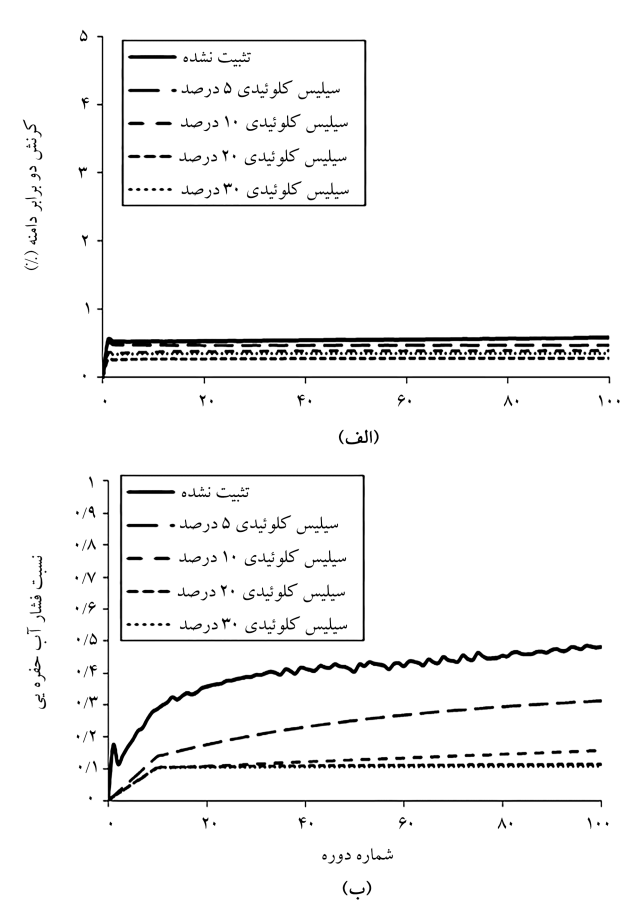


شکل ۹. (الف) تغییرات کرنش دو برابر دامنه، (ب) تغییرات نسبت فشار آب حفره‌یی با افزایش غلظت سیلیس کلوئیدی در ماسه با ۲۰ درصد لای و نسبت تنش دوره‌یی .۰/۴

می‌توان گفت، افزودن سیلیس کلوئیدی با غلظت بیش از ۲۰٪، موجب پیشگیری از پدیده‌ی روانگرایی در خاک‌های مذکور شده است.

برای نمونه‌های ماسه‌ی لای دار با درصد لای ۴۰، با غلظت‌های گوناگون تشیت‌کننده می‌شود که درصد تراکم مورد آزمایش و در نسبت تنش دوره‌یی ۰/۲، ماسه‌ی لای دار با درصد لای ۲۰ روانگرایی نمی‌شود، بلکه فقط نسبت فشار آب حفره‌ی در آن تا نزدیکی ۵٪ افزایش می‌یابد. علت کاهش نسبت فشار آب حفره‌ی با افزایش لای می‌تواند به این دلیل باشد که با افزایش لای، خاصیت خمیری در خاک افزایش می‌یابد و درنتیجه، محدوده‌ی تغییرشکل‌های کشسان آن بیشتر می‌شود. از انجایی که توسعه‌ی فشار آب حفره‌ی در یک نمونه، به رخداد تغییرشکل ذرات خاک (تغییرشکل خمیری) مربوط است؛ در واقع با افزایش لای، بیشتر تغییرشکل‌های خمیری کاسته شده است و این امر از نوع کشسان بوده و از مقدار تغییرشکل‌های خمیری شده است. [۲۶] تثیت با سیلیس کلوئیدی در نمونه‌ی ماسه‌ی لای دار با ۲۰٪ لای، همان‌طور که در شکل ۸ ب مشاهده می‌شود، موجب کاهش نسبت فشار آب حفره‌ی تا حدود ۱٪ شده و مطابق شکل ۸(الف)، کرنش نمونه‌ی تثیت نشده از حدود ۵٪ به حدود ۲۵٪ کاهش یافته است.

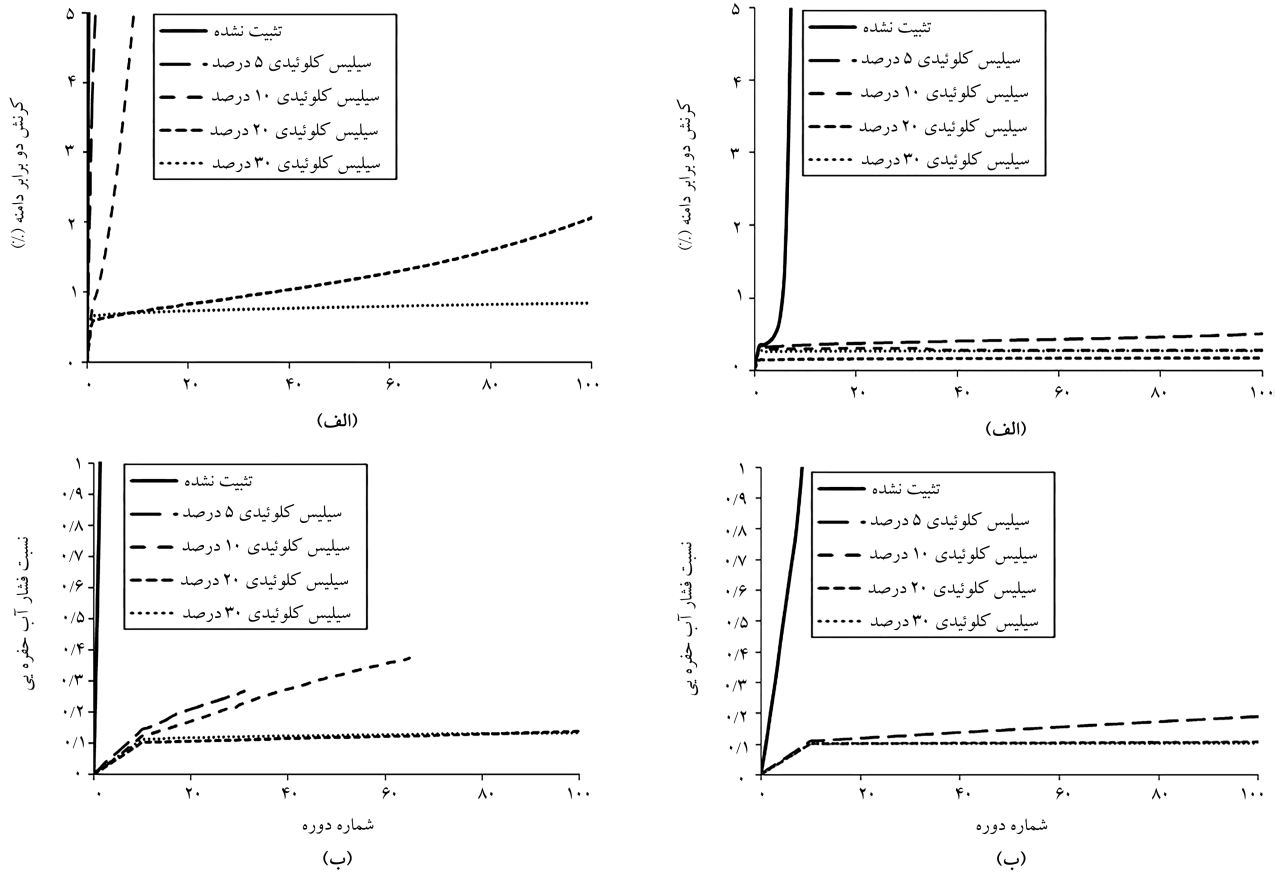
مطابق شکل ۹، با افزایش نسبت تنش دوره‌یی به ۴٪ در ماسه‌ی لای دار با درصد لای ۲۰٪، مشاهده می‌شود که پدیده‌ی روانگرایی در خاک تثیت نشده ایجاد نیز موجب کاهش کرنش محوری ۲ برابر دامنه تا نزدیکی ۱٪ و کاهش نسبت فشار آب حفره‌ی تا حدود ۲٪ طی ۱۰۰ دوره‌یی پایین (نسبت تنش دوره‌یی) در آن محل است. به‌گونه‌یی که در سطح لرزه‌یی پایین (نسبت تنش



شکل ۸. (الف) تغییرات کرنش دو برابر دامنه، (ب) تغییرات نسبت فشار آب حفره‌یی با افزایش غلظت سیلیس کلوئیدی در ماسه با ۲۰ درصد لای و نسبت تنش دوره‌یی .۰/۲

برای نمونه‌های ماسه‌ی لای دار با درصد لای ۲۰٪، با غلظت‌های گوناگون تشیت‌کننده در نسبت‌های گوناگون تنش دوره‌یی مطابق شکل‌های ۸ و ۹ است. طبق شکل ۸ مشاهده می‌شود که در درصد تراکم مورد آزمایش و در نسبت تنش دوره‌یی ۰/۲، ماسه‌ی لای دار با درصد لای ۲۰ روانگرایی نمی‌شود، بلکه فقط نسبت فشار آب حفره‌ی در آن تا نزدیکی ۵٪ افزایش می‌یابد. علت کاهش نسبت فشار آب حفره‌ی با افزایش لای می‌تواند به این دلیل باشد که با افزایش لای، خاصیت خمیری در خاک افزایش می‌یابد و درنتیجه، محدوده‌ی تغییرشکل‌های کشسان آن بیشتر می‌شود. از انجایی که توسعه‌ی فشار آب حفره‌ی در یک نمونه، به رخداد تغییرشکل ذرات خاک (تغییرشکل خمیری) مربوط است؛ در واقع با افزایش لای، بیشتر تغییرشکل‌های خمیری کاسته شده است. از نوع کشسان بوده و از مقدار تغییرشکل‌های خمیری شده است. [۲۶] تثیت با سیلیس کلوئیدی در نمونه‌ی ماسه‌ی لای دار با ۲۰٪ لای، همان‌طور که در شکل ۸ ب مشاهده می‌شود، موجب کاهش نسبت فشار آب حفره‌ی تا حدود ۱٪ شده و مطابق شکل ۸(الف)، کرنش نمونه‌ی تثیت نشده از از حدود ۵٪ به حدود ۲۵٪ کاهش یافته است.

مطابق شکل ۹، با افزایش نسبت تنش دوره‌یی به ۴٪ در ماسه‌ی لای دار با درصد لای ۲۰٪، مشاهده می‌شود که پدیده‌ی روانگرایی در خاک تثیت نشده ایجاد شده است. همان‌گونه که پیش‌تر اشاره شد، افزودن سیلیس کلوئیدی به منظور پیشگیری از پدیده‌ی روانگرایی ماسه و ماسه‌ی لای دار در یک منطقه، وابسته به سطح بار لرزه‌یی (نسبت تنش دوره‌یی) در آن محل است. به‌گونه‌یی که در سطح لرزه‌یی پایین (نسبت تنش



شکل ۱۱. (الف) تغییرات کرنش دو برابر دامنه، (ب) تغییرات نسبت فشار آب حفره‌یی با افزایش غلظت سیلیس کلوئیدی در ماسه با ۴۰ درصد لای و نسبت تنش دوره‌یی .۰/۴

دانه‌یی بوده و در ریزدانه‌ی بیشتر از ۲۲٪، رفتار مشابه خاک ریزدانه از خود نشان داده است.

- سن پهینه‌ی نمونه‌های خاک تثبیت شده با سیلیس کلوئیدی جهت انجام آزمایش‌های سه‌محوری دوره‌یی، براساس نتایج آزمایش‌های مقاومت فشاری محدود نشده، ۳ روز بدست آمده است.

- تثبیت خاک با سیلیس کلوئیدی، موجب کاهش استعداد روانگرایی خاک می‌شود، به گونه‌یی که با افزودن سیلیس کلوئیدی، کرنش محوری ۲ برابر دامنه و نسبت فشار آب حفره‌یی در بارگذاری دوره‌یی کاهش یافته است.

- در ماسه‌ی لای دار با درصد لای ۴۰، با افزایش غلظت تثبیت‌کننده از ۱۰ تا ۳۰ درصد، نسبت فشار آب حفره‌یی از روانگرایی کامل در ۱۰ دوره به حدود ۱/۰ در ۱۰۰ دوره بارگذاری کاهش یافته و کرنش محوری ۲ برابر دامنه از ۰/۵ طی ۱۰ دوره به حدود ۷/۰ طی ۱۰۰ دوره بارگذاری تنزل پیدا کرده است.

- انتخاب غلظت سیلیس کلوئیدی به منظور پیشگیری از پدیده‌ی روانگرایی ماسه و ماسه‌ی لای دار در یک منطقه، بستگی به نسبت تنش دوره‌یی در آن محل دارد، به گونه‌یی که در نسبت تنش دوره‌یی ۰/۲، غلظت سیلیس کلوئیدی ۵٪ کفايت می‌کند، اما در نسبت تنش دوره‌یی ۰/۴، باید از سیلیس کلوئیدی با غلظت ۰/۲٪ استفاده شود.

دوره‌یی ۰/۲)، تثبیت خاک با غلظت سیلیس کلوئیدی ۵٪ جهت پیشگیری از روزانگرایی کفايت می‌کند، اما در مناطق با سطح لرزه‌یی بالا (نسبت تنش دوره‌یی ۰/۴) باید از تثبیت با سیلیس کلوئیدی با غلظت ۲۰٪ و بیشتر استفاده شود.

دوره‌یی ۰/۰)، تثبیت خاک با غلظت سیلیس کلوئیدی ۵٪ جهت پیشگیری از روزانگرایی کفايت می‌کند، اما در مناطق با سطح لرزه‌یی بالا (نسبت تنش دوره‌یی ۰/۰) باید از تثبیت با سیلیس کلوئیدی با غلظت ۲۰٪ و بیشتر استفاده شود.

۵. نتیجه گیری

در پژوهش حاضر، تأثیر تثبیت‌کننده‌ی سیلیس کلوئیدی در رفتار ماسه‌ی تمیز و ماسه‌ی لای دار، با انجام آزمایش سه‌محوری دینامیکی ارزیابی شده است. نمونه‌های ماسه‌ی لای دار، با انجام آزمایش سه‌محوری دینامیکی ارزیابی شده است. نمونه‌های ماسه‌ی لای دار از ماسه‌ی بابلسر و نمونه‌های ماسه‌ی لای دار از ماسه‌ی بابلسر مخلوط با مقدار گوناگون لای بابل ساخته شده‌اند. نسبت اختلاط ماسه و لای به گونه‌یی بود که ماسه‌ی لای دار با لای ۰، ۱۰ و ۴۰ درصد ساخته شده است. نمونه‌های ماسه‌ی تمیز و لای دار در مرحله‌ی بعد با سیلیس کلوئیدی با غلظت ۵، ۱۰، ۲۰ و ۳۰ درصد تثبیت شد. ۳۰ آزمایش سه‌محوری دوره‌یی به منظور بررسی مقاومت روانگرایی نمونه‌ی خاک تثبیت شده و تثبیت نشده انجام شد. مهم‌ترین نتایج بدست آمده از پژوهش حاضر به این صورت است:

- درصد ریزدانه‌ی لازم جهت انتقال رفتار ماسه‌ی بابلسر از رفتار دانه‌یی به رفتار ریزدانه، ۲۲٪ بوده است، به گونه‌یی که در ریزدانه‌ی کمتر از ۲۲٪، رفتار خاک

پیانو شت ها

1. Permeation grouting
 2. compaction grouting
 3. hydrofracturing
 4. Yonekura & Kaga
 5. micro fine cement
 6. Kodaka
 7. Ghallagher
 8. Pamuk
 9. Conlee
 10. prototype
 11. Vranna & Tika
 12. unified soil classification system
 13. Dr. Khan
 14. Yang
 15. dry funnel deposition
 16. moist tamping
 17. Persoff
 18. Diaz Radriguez
 19. Mitchell
 20. Liao
 21. Consoli
 22. limited liquefaction
 23. cyclic softening
 24. cyclic mobility

منابع (References)

- پانوشت‌ها**

 1. Permeation grouting
 2. compaction grouting
 3. hydrofracturing
 4. Yonekuura & Kaga
 5. micro fine cement
 6. Kodaka
 7. Gallagher
 8. Pamuk
 9. Conlee
 10. prototype
 11. Vranna & Tika
 12. unified soil classification system
 13. Dr. Khan
 14. Yang
 15. dry funnel deposition
 16. moist tamping
 17. Persoff
 18. Diaz Rodriguez
 19. Mitchell
 20. Liao
 21. Consoli
 22. limited liquefaction
 23. cyclic softening
 24. cyclic mobility

منابع (References)

 1. Koerner, R.M. "Construction and geotechnical methods in foundation engineering", McGraw-Hill Book Company (1985).
 2. Granata, R., Vanni, D. and Mauro M. "New experience in ground treatment by permeation grouting", *Proceedings of Ground Improvement, Institution of Civil Engineers*, pp. 1-8 (2014).
 3. Guyer, J.P. "An introduction to soil grouting", Course No.C02-017, Continuing Education and Development Inc. (2009).
 4. Yonekura, R. and Kaga, M. "Current chemical grout engineering in Japan", *Proc. Grouting, Soil Improvement, and Geosynthetics, Geotech. Special Publ.*, **30**, pp. 725-736 (1992).
 5. Persoff, P., Moridis, G. and Whang, J.M. "Effect of dilution and contaminants on sand grouted with colloidal silica", *Journal of Geotechnical and Geoenviromental Engineering*, **125**(6), pp. 461-469 (1999).
 6. Gallagher, P.M., Pamuk, A. and Abdoun, T. "Stabilization of liquefiable soils using colloidal silica grout", *Journal of Materials in Civil Engineering*, **19**(1), pp. 33-40 (2007).
 7. Kodaka, T., Oka, F., Ohno, Y. and et al. "Modeling of cyclic deformation and strength characteristics of silica treated sand", *First Japan-U.S. Workshop on Testing, Modeling, and Simulation*, Boston, Massachusetts, United States, pp. 205-216 (2003).
 8. Pamuk, A., Gallagher, P.M. and Zimmie, T.F. "Remediation of piled foundations against lateral spreading by passive site stabilization technique", *Soil Dynamics and Earthquake Engineering*, **27**(9), pp. 864-874 (2007).
 9. Conlee, C.T., Gallagher, P.M., Boulanger, R.W. and et al. "Centrifuge modeling for liquefaction mitigation using colloidal silica stabilizer", *Journal of Geotechnical and Geoenviromental Engineering*, **138**(11), pp. 1334-1345 (2012).
 10. Triantafyllos, P.K., Georgiannou, V.N., Pavlopoulou, E.M. and et al. "Strength and dilatancy of sand before and after stabilisation with colloidal-silica gel", *Geotechnique*, pp. 1-15 (2021).
 11. Vranna, A., Tika, T. and Papadimitriou, A. "Laboratory investigation into the monotonic and cyclic behaviour of a clean sand stabilised with colloidal silica", *Geotechnique*, pp. 1-14 (2020).
 12. Agapoulaki, G.I. and Papadimitriou, A.G. "Rheological properties of colloidal silica grout for passive stabilization against liquefaction", *Journal of Materials in Civil Engineering*, **30**(10), pp. 04018251 (2018).
 13. Ochoa-Cornejo, F., Bobet, A., Johnston, C. and et al. "Dynamic properties of a sand-nanoclay composite", *Geotechnique*, **70**(3), pp. 210-225 (2020).
 14. Zhao, M., Liu, G. and Zhang, C. "State-of-the-art of colloidal silica-based soil liquefaction mitigation: An emerging technique for ground improvement", *Applied Sciences*, **10**(1), **15**, pp. 1-31 (2020).
 15. Krishnan, J., Sharma, P., Shukla, S. "Cyclic behaviour and durability analysis of sand grouted with optimum colloidal silica content", *Arabian Journal for Science and Engineering*, **45**, pp. 8129-8144 (2020).
 16. Vranna, A. and Tika, T. "The mechanical response of a silty sand stabilized with colloidal silica", *Geotechnics*, **1**(2), pp. 243-259 (2021).
 17. ASTM D-422-63., *Standard Test Method for Particle-Size Analysis of Soils*, Annual Book of ASTM Standards, ASTM, USA (2007).
 18. ASTM D-854-10., *Standard Test Methods for Specific Gravity of Soil Solids by Water Pycnometer*, Annual Book of ASTM Standards, ASTM, USA (2012).
 19. ASTM D-4318-10., *Standard Test Methods for Liquid Limit, Plastic Limit, and Plasticity Index of Soils*, Annual Book of ASTM Standards, ASTM, USA (2012).
 20. ASTM D-698-07., *Standard Test Methods for Laboratory Compaction Characteristics of Soil Using Standard Effort*, Annual Book of ASTM Standards, ASTM, USA (2012).
 21. Yang, S., Lacasse, S. and Sandven, R. "Determination of transitional fine content of mixtures of sand and non-plastic fines", *Geotechnical Testing Journal*, **29**(2), pp. 1-6 (2006).
 22. ASTM D-4253-00., *Standard Test Methods for Maximum Index Density and Unit Weight of Soils Using a Vibratory Table*, Annual Book of ASTM Standards, ASTM, USA (2004).
 23. ASTM D-4254-00., *Standard Test Methods for Minimum Index Density and Unit Weight of Soils and Calculation of Relative Density*, Annual Book of ASTM Standards, ASTM, USA (2004).
 24. Brandon, T.L., Clough, G.W. and Rahardjo, P.P. "Fabrication of silty sand specimens for large and small scale test", *Geotechnical Testing Journal*, **14**(1), pp. 46-55 (1991).

25. Bradshaw, A.S. and Baxter, C.D.P. "Sample preparation of silts for liquefaction testing", *Geotechnical Testing Journal*, **30**(4), pp. 1-9 (2007).
26. Ladd, R.S. "Preparing test specimens using undercompaction", *Geotechnical Testing Journal*, **1**(1), pp. 16-23 (1978).
27. Noorzad, R. and Noori Delavar, I. "Preparing the remoulded injected silty sand sample for mechanical tests", *5th International Conference on Geotechnical Engineering and Soil Mechanics*, Tehran, Iran (in Persian) (2016).
28. Diaz-Rodriguez, J.A., Antonio-Izarraras, V.M., Bandini, P. and et al. "Cyclic strength of a natural liquefiable sand stabilized with colloidal silica grout", *Canadian Geotechnical Journal*, **45**, pp. 1345-1355 (2008).
29. Gallagher, P.M. and Mitchel, J.K. "Influence of colloidal silica grout on liquefaction potential and cyclic undrained behavior of Loos Sand", *Soil Dynamic and Earthquake Engineering*, **22**(9), pp. 1017-1026 (2002).
30. Liao, H.J., Huang, C.C. and Chao, B.S. "Liquefaction resistance of colloid silica grouted sand", *Proceeding of Grouting and Ground Treatment*, , pp. 1305-1313 (2003).
31. ASTM D-2166-00., *Standard Test Method for Unconfined Compressive Strength of Cohesive Soil*, Annual Book of ASTM Standards, ASTM, USA (2004).
32. ASTM D-7181-11., *Standard Test Method for Consolidated Drained Triaxial Compression Test for Soils*, Annual Book of ASTM Standards, ASTM, USA (2011).
33. Consoli, N.C., Cruz, R.C., Fonceca, A.V. and et al. "Influence of cement-void ratio on stress-dilatancy behavior of artificially cemented sand", *Journal of Geotechnical and Geoenviromental Engineering*, **138**(1), pp. 100-109 (2012).
34. International Society for Rock Mechanics, Suggested Methods for Determining Water Content, Porosity, Density, Absorption and Relative Properties.
35. ASTM D-5311-13., *Standard Test Method for Load Controlled Cyclic Triaxial Strength of Soil*, Annual Book of ASTM Standards, ASTM, USA (2013).
36. Perlea, V.G. "Liquefaction of cohesive soils", *Proc. Soil Dynamics and Liquefaction, Geotechnical Special Publication, Denver, ASCE*, **107** pp. 58-76 (2000).
37. Ishihara, K. "Liquefaction and flow failure during earthquakes", *Geotechnique*, **43**(3), pp. 351-415 (1993).
38. Towhata, I. "Geotechnical earthquake engineering", Springer-Verlag, Berlin, Heidelberg, 378 p. (2008).